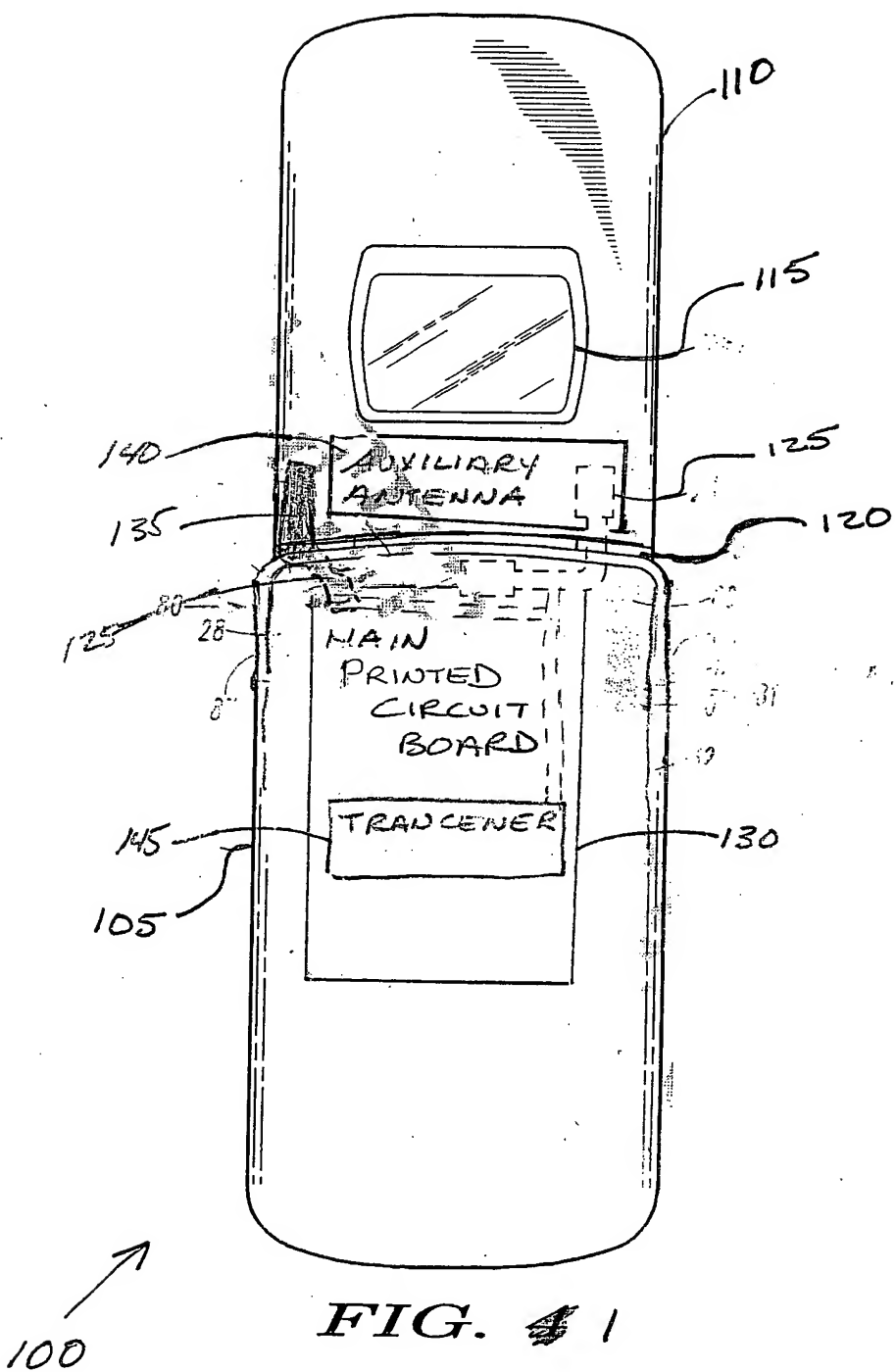


MORNINGSTAR, ET AL.
CS 232340S

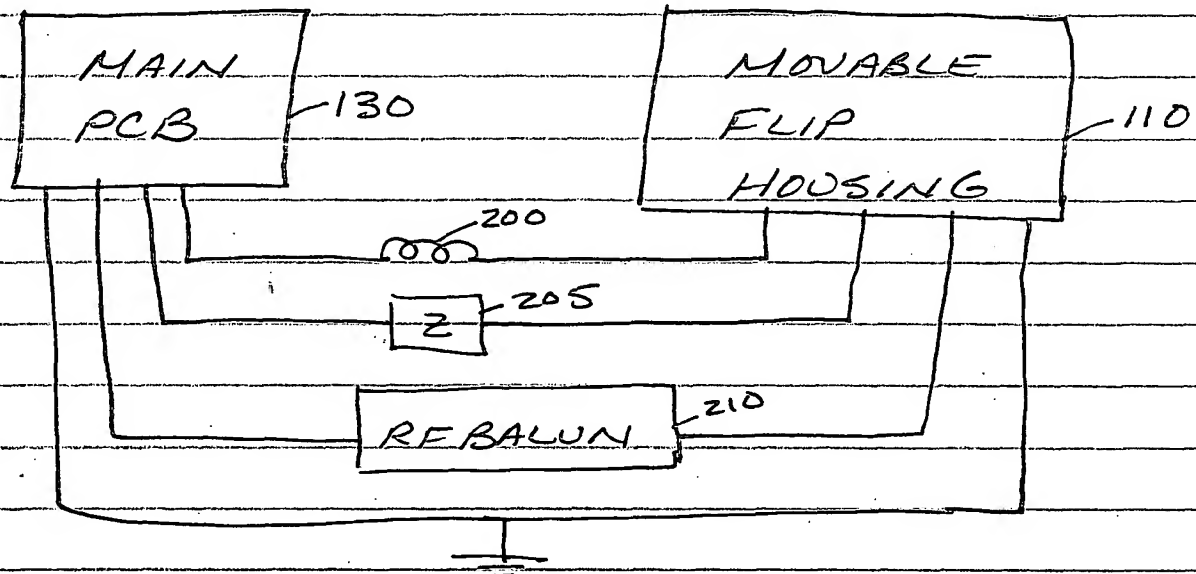
1/11



2/11

MORNINGSTAR ET AL
CS23284US

FIG. 2



3/11

MORNIGSTAR, ET AL
CS23234U S

135

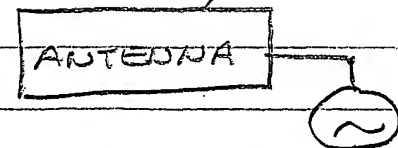
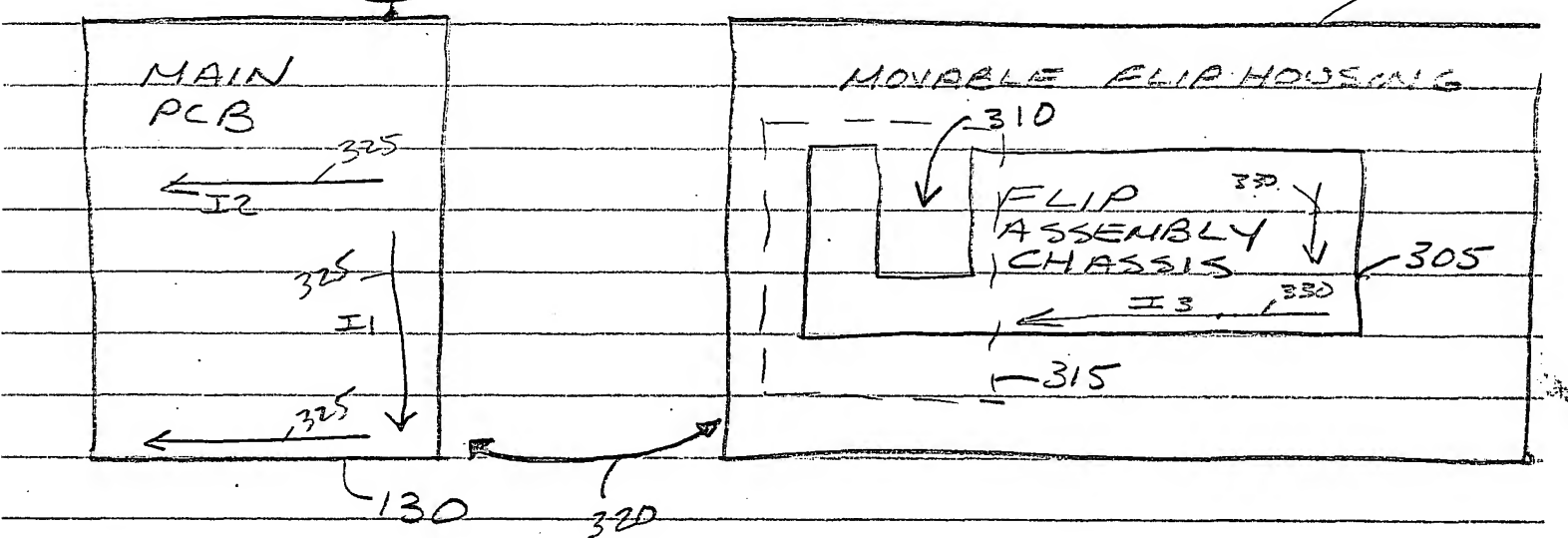


FIG. 3

110



4/11

MORNINGSTAR ET AL.
CS 23234US

135 FIG. 4

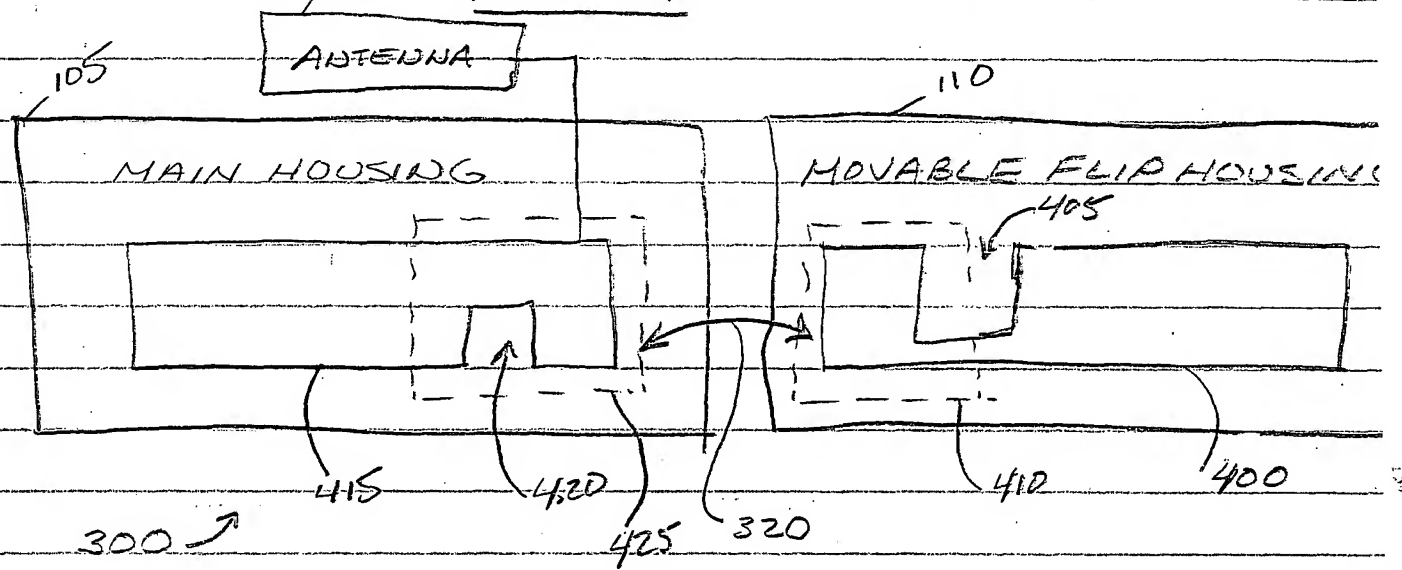
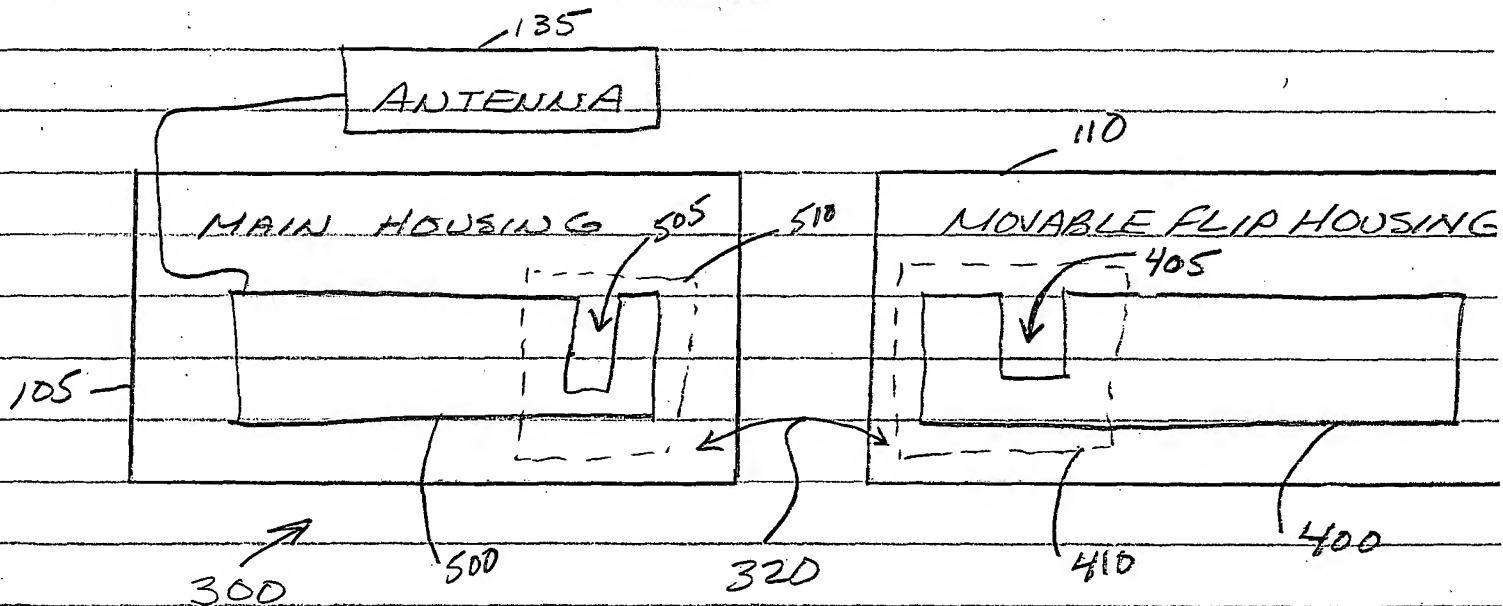


FIG. 5



5/11

HORNIGESTAR et al
CS23234US

FIG. 6

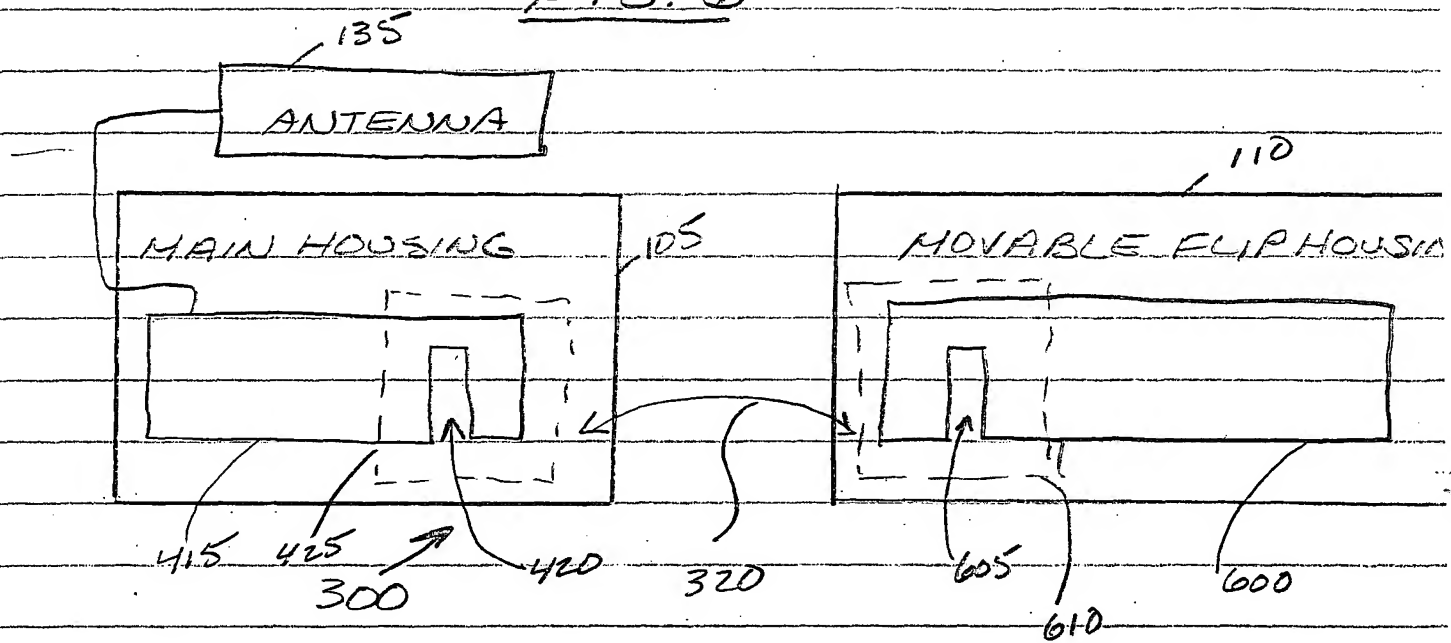
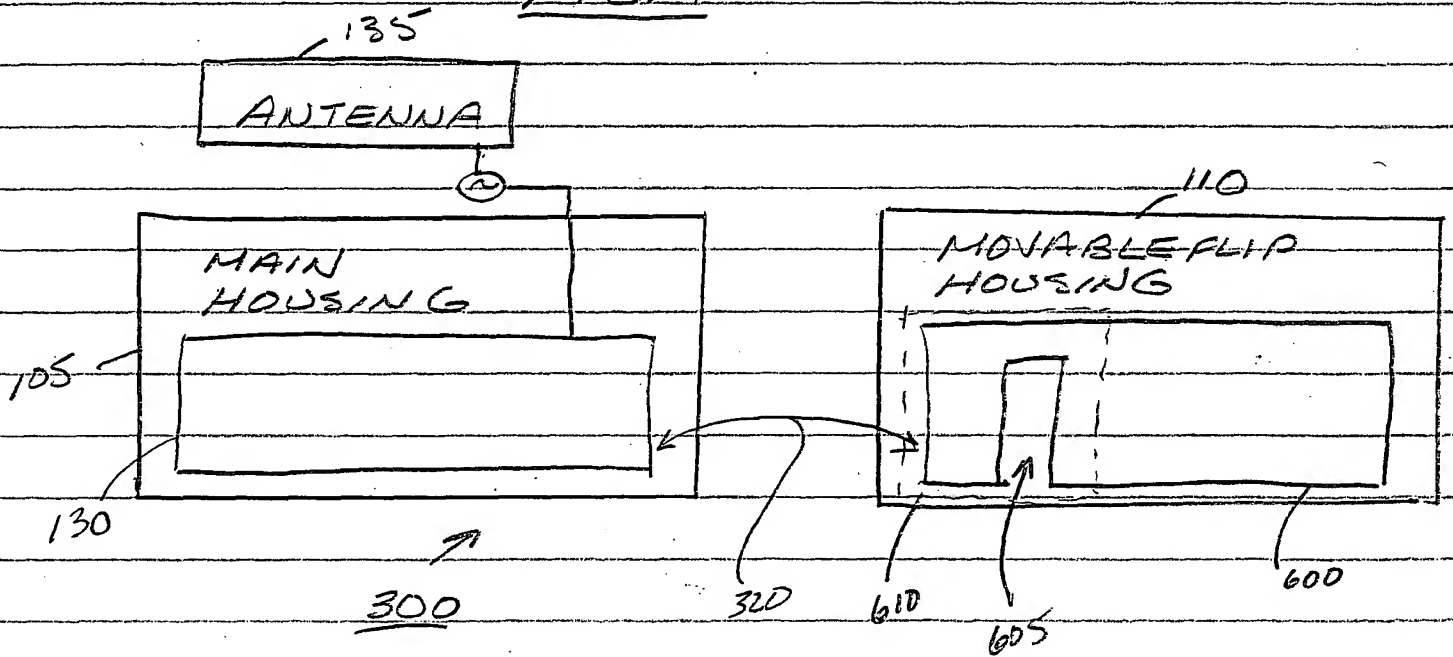


FIG. 7



6/11

MORNINGSTAR et al
CS232340S

FIG. 8

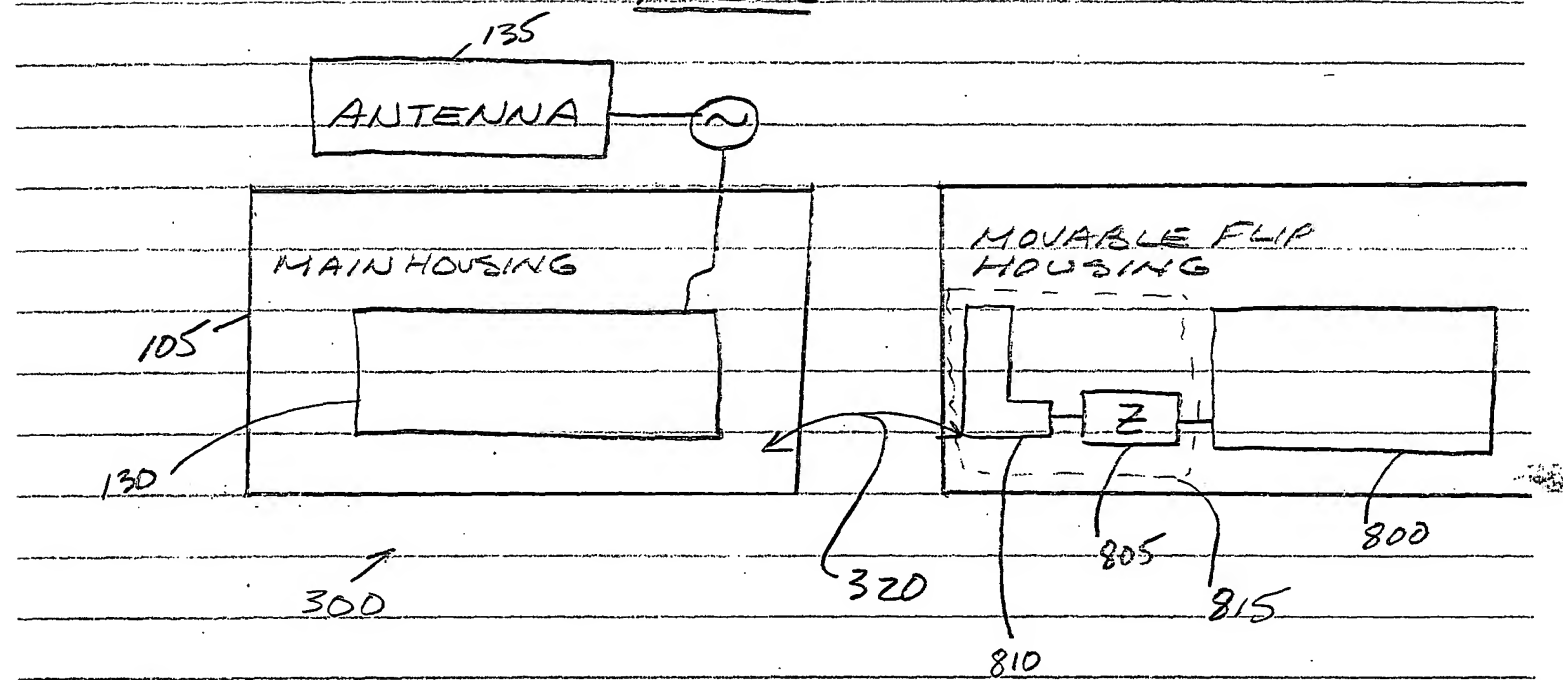
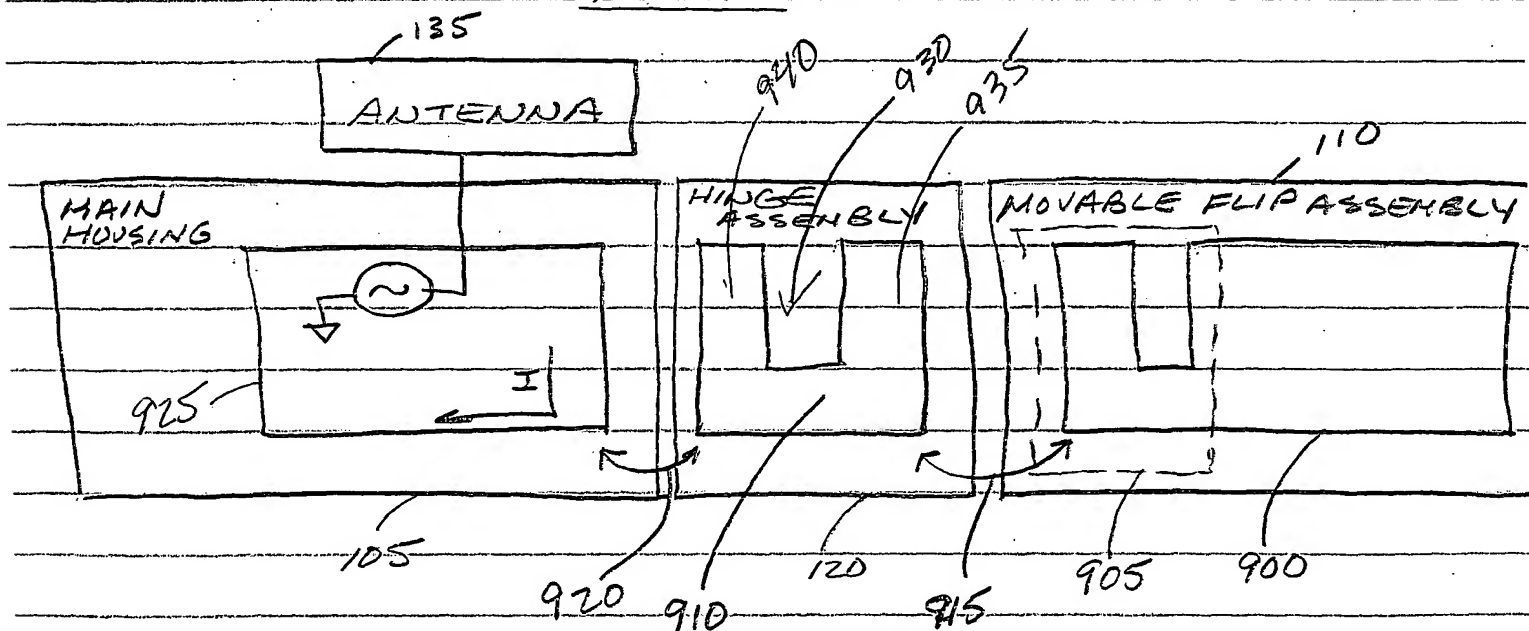


FIG. 9



300

7/11

MORNINGSTAR ET.
CS28284US

FIG. 10

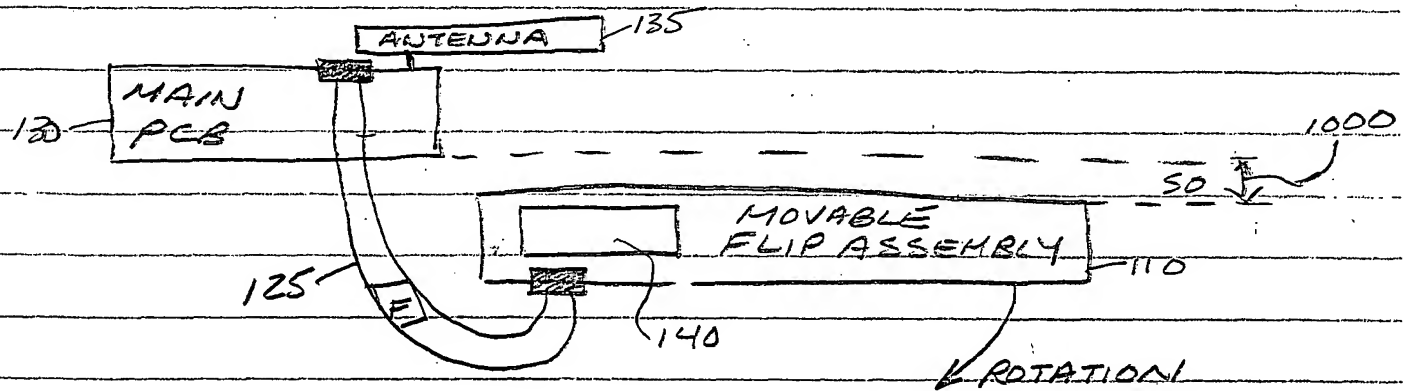
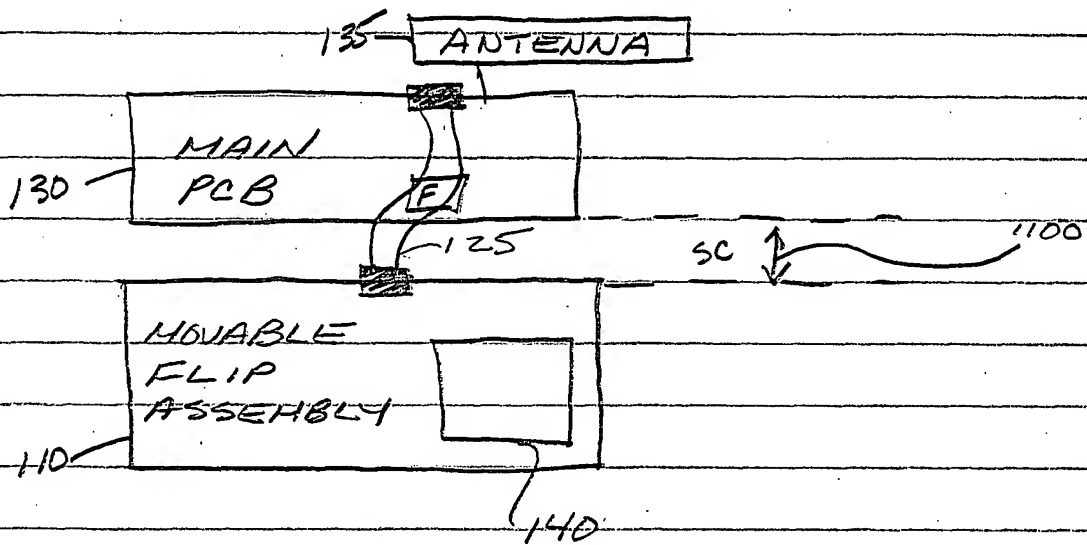


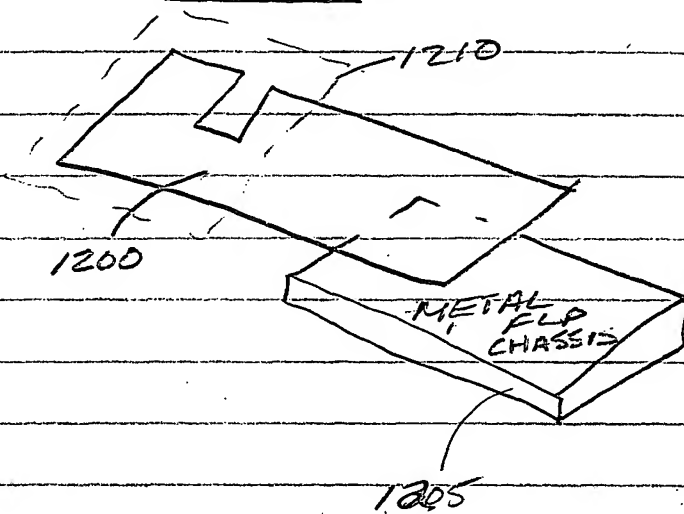
FIG. 11



8/11

MORNINGSTAR et al
CS23234US

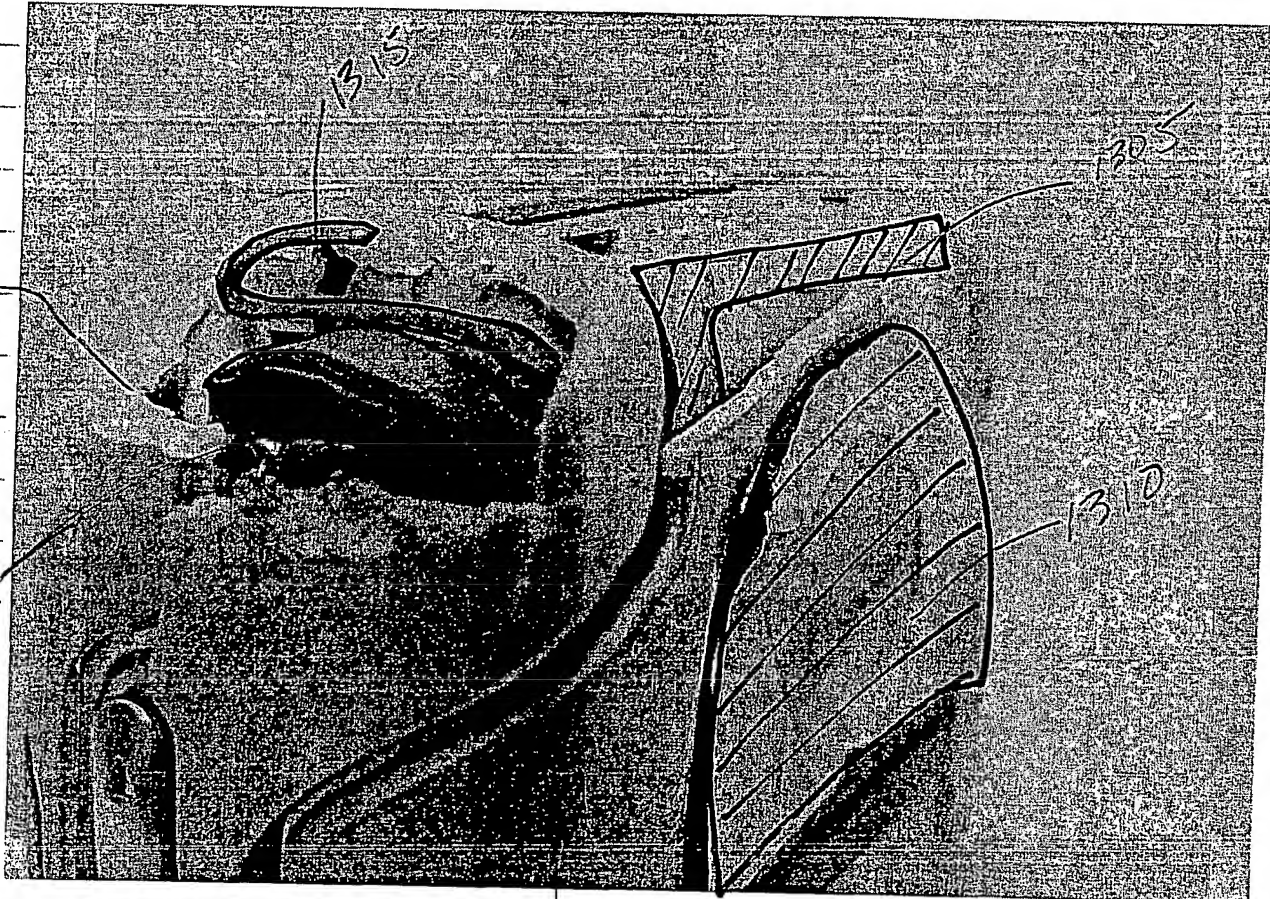
FIG. 12



9/11

MORNINGSTAR et.
CS23234US

FIG. 13



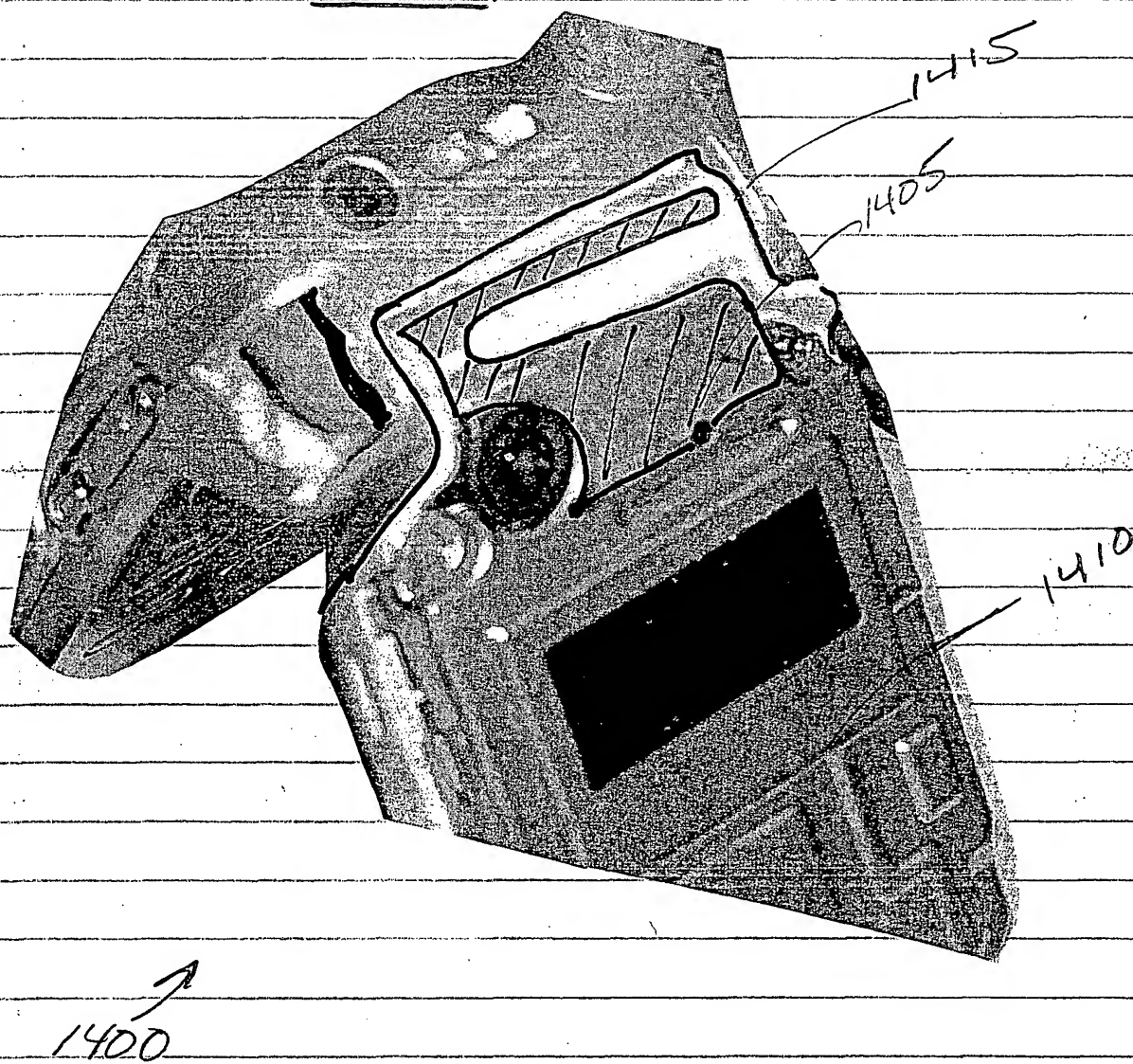
P
1300

1320

10/11

MORNINGSTAR et al
CS23234US

FIG. 14



11/11

MORNINGSTAR et al
CS23234US

FIG. 15

